



Escuela  
Politécnica  
Superior

# Desarrollo de una arquitectura hardware para procesamiento especializado



Grado en Ingeniería Informática

## Trabajo Fin de Grado

Autor:

Vladyslav Korkoshko Tereshchenko

Tutor/es:

Marcelo Saval Calvo

Jose Luís Sánchez Romero

Julio 2020



Universitat d'Alacant  
Universidad de Alicante



# Desarrollo de una arquitectura hardware para procesamiento especializado

---

Basado en CORDIC

## **Autor**

Vladyslav Korkoshko Tereshchenko

## **Tutor/es**

Marcelo Saval Calvo

*Tecnología Informática y Computación*

Jose Luís Sánchez Romero

*Tecnología Informática y Computación*



Grado en Ingeniería Informática



Escuela  
Politécnica  
Superior



Universitat d'Alacant  
Universidad de Alicante

ALICANTE, Julio 2020



## **Abstract**



## Resumen





## **Agradecimientos**







# Índice general

<b>1</b>	<b>Introducción</b>	<b>1</b>
1.1	Motivación y contexto . . . . .	1
1.2	Método CORDIC . . . . .	1
1.2.1	Revisiones y mejoras de CORDIC . . . . .	2
1.2.2	Presente y futuro de CORDIC . . . . .	2
1.3	Objetivos . . . . .	3
1.4	Estructura del documento . . . . .	3
<b>2</b>	<b>CORDIC</b>	<b>5</b>
2.1	Descripción de CORDIC . . . . .	5
2.2	Mejoras a CORDIC . . . . .	7
2.2.1	4-Radix . . . . .	8
2.2.2	Angle Recording . . . . .	8
2.2.3	Hybrid CORDIC . . . . .	8
2.2.4	Redundant-Number-Based CORDIC . . . . .	8
2.2.5	Pipelined CORDIC . . . . .	9
2.3	CORDIC y punto flotante . . . . .	9
<b>3</b>	<b>Implementación de CORDIC</b>	<b>15</b>
3.0.1	Herramientas . . . . .	15
3.0.2	Implementación básica . . . . .	15
3.0.3	Implementación pipeline . . . . .	15
3.0.4	Implementación con punto flotante . . . . .	15
<b>4</b>	<b>Conclusiones</b>	<b>17</b>
	<b>Bibliografía</b>	<b>19</b>



## Índice de figuras

2.1	Rotation Mode . . . . .	6
2.2	Vectoring Mode . . . . .	7
2.3	CORDIC convencional con <i>pipelining</i> . . . . .	9
2.4	Arquitectura de FP CORDIC. Figura de de Lange y cols. (1988) . . . . .	11
2.5	Unidad de procesamiento de CORDIC de doble precisión. Figura extraída de Yeshwanth y cols. (2018) . . . . .	13





# Índice de tablas

2.1	Diferentes configuraciones de CORDIC, segun Meher y cols. (2009) . . . . .	8
2.2	Características de FP CORDIC. Datos de de Lange y cols. (1988) . . . . .	10
2.3	Resultados de 64FP CORDIC y una CPU AMD Athlon 64 Processor 3200+. Num_C es el número de co-procesadores de CORDIC usados en el experimento.	12
2.4	Tabla de comparaciones del CORDIC propuesto con otros trabajos parecidos. Tabla de Nguyen y cols. (2015) . . . . .	12
2.5	Número de iteraciones comparando el multiplicador CORDIC con punto flotante de Yeshwanth y cols. (2018) a otras soluciones. . . . .	12
2.6	Comparativa entre un multiplicador Vedic y CORDIC de Yeshwanth y cols. (2018). . . . .	13



# Índice de Códigos



# 1 Introducción

## 1.1 Motivación y contexto

CORDIC es un método desarrollado en los años 60 que ha sido utilizado en múltiples ocasiones en proyectos de diferente gama, pero con la adición de la unidad de punto flotante (FPU) y sus posteriores mejoras en el procesamiento de las operaciones en punto flotante además de una reducción de coste de este, hizo bajar la popularidad de CORDIC ya que el procesamiento de CORDIC posee una gran latencia. Además, en software es mas lento y por lo tanto, no tan atractivo a la hora de elegir el método.

Aun así, CORDIC puede ocupar un espacio el cual una FPU no es lo mas óptimo. Múltiples métodos y algoritmos se han quedado atrás en el mundo académico y no han sido usados para solucionar problemas reales, pero CORDIC sigue siendo estudiado y después de mas de 50 años se siguen publicando artículos relacionados con el método, por lo que hay una razón por la que sería interesante estudiar sus posibles aplicaciones.

El método engloba una gran cantidad de diferentes algoritmos que se construyen de la misma manera y emplean las mismas operaciones estipuladas por Jack. E Volder. Esta flexibilidad permite el uso del algoritmo en diferentes áreas de la informática, como el procesamiento de imágenes, comunicación o robótica, entre otros.

El ecosistema de FPGAs está ahora mismo en alza gracias a la reducción de coste de los componentes y la mejora de las especificaciones. Además, se ha visto un gran número de herramientas de código abierto que anteriormente no existía, y se basaba mayoritariamente en herramientas de desarrollo software multiplataforma y dispositivos hardware propietarios. Un claro ejemplo son las *crowdfunded* FPGAs que hay en el mercado, que ofrecen unas características muy interesantes a un precio relativamente bajo.

Referencias a algunas de estas FPGAs.

Esto permite poner vista a nuevos proyectos con FPGAs que anteriormente eran muy costosos ya que se ve una clara bajada de coste de cómputo en un futuro muy cercano.

Para finalizar, CORDIC permite un aprendizaje de los lenguajes de descripción de hardware y la implementación del código en hardware especializado, como por ejemplo una FPGA, ya que es un método fácil de entender e implementar en hardware en su definición mas básica (cálculo de funciones  $\sin()$  y  $\cos()$ ).

Poner citas en todo el texto.  
Revisar

## 1.2 Método CORDIC

En 1959, Volder publica el primer artículo del algoritmo que denominó *The COordinate Rotation DIgital Computer*, o CORDIC. Este algoritmo fue originalmente como un algoritmo de propósito específico para dispositivos digitales que necesitan un funcionamiento en tiempo real. En concreto, este algoritmo fue diseñado para el cómputo del sistema de navegación del

avión Convair B-56 Hustler para reemplazar el sistema analógico a uno digital para ser mas preciso y de tiempo real.

El algoritmo publicado por Volder tenía como objetivo resolver funciones trigonométricas y la conversión de coordenadas rectangulares a polares, aunque desde el primer momento se estipula que este método puede ser usado para para el cómputo de otras operaciones matemáticas.

El aspecto más importante de CORDIC es la forma de resolver el problema. Solo requiere las operaciones de sumar, restar, movimiento de bits (*bitshift*) y una *lookup table* (LUT). Esto es importante, ya que trae muchas características que en un futuro dependen de esta simplicidad.

### 1.2.1 Revisiones y mejoras de CORDIC

Walther (1971), de la división de *Hewlett-Packard Laboratories* (HP) publicó en 1971 un artículo con un algoritmo CORDIC que unificaba el cálculo de funciones elementales como la multiplicación, división, exponenciales, raíces cuadradas, entre otros, con las mismas operaciones básicas especificadas anteriormente.

Además, en este artículo ya se hace mención de una unidad de hardware para el proceso de valores en punto flotante. El dispositivo diseñado en HP aceptaba valores de 48 bits y 32 bits en punto flotante.

El algoritmo de CORDIC fue usado por HP, Texas Instruments y otros para crear calculadoras digitales de un tamaño reducido. Un ejemplo de esto es HP-35, la cual realizaba las funciones trigonométricas mediante este método. Además, CORDIC fue usado en algunos procesadores, ya sea como un *coprocesador* o integrado dentro del mismo, como el Intel 8087 y algunos de sus posteriores generaciones, generalmente para reducir el número de puertas lógicas y complejidad de la FPU.

### 1.2.2 Presente y futuro de CORDIC

Aunque el algoritmo no sea la mejor método para realizar las operaciones estipuladas anteriormente, sigue siendo muy atractivo por su simplicidad a la hora de implementarlo en hardware, ya que se puede usar el mismo algoritmo iterativo para todas las operaciones usando el diseño *shift-add* básico. Muchos sistemas embebidos y FPGAs no tienen una unidad dedicada al procesamiento de punto flotante, por lo que lo hace un candidato ideal.

2016 Study of CORDIC backing up development and reduced cost of FPGA and improved performance

Los nuevos desarrollos de CORDIC se han centrado en mejorar el *throughput*, la reducción de la complejidad del hardware necesitado para la implementación y la latencia propia del método.

Algunas de las aplicaciones(usos?) de CORDIC son:

- *Direct Kinematics Solution* (DKS) o solución de cinemática directa para manipuladores de robots seriales. Las rotaciones y translaciones de los eslabones(links?) que generan nuevas coordenadas son calculadas por CORDIC. Un método similar es usado para la cinemática inversa.
- CORDIC tambien se ha usado como una unidad funcional de un procesador de robot para temas de redundancia y cálculo de detección de colisión.

Poner mas cosas aquí. Citas

La mayoría que ahora mismo son solo de 50 Years of CORDIC. Poner las actualizadas tmb.

- Dentro de los gráficos 3D nos encontramos con procesamiento intensivo geométrico de rotación de vectores 3D, luminosidad y interpolación, candidatos perfectos para uso del método.
- Descomposición QR. Hay variantes de CORDIC que ofrecen esta funcionalidad.
- Dentro del procesamiento de señal podemos encontrar un gran número de implementaciones para el cálculo de *Discrete Fourier transform* (DFT).

Hay mas cosas que poner aquí de DFT

- En el ámbito de la comunicación, CORDIC puede ser usado para la modulación digital y análoga. Dependiendo de los parámetros del método, es posible hacer cálculo digital de una multitud de modulaciones.

## 1.3 Objetivos

El objetivo principal es el estudio y desarrollo de alternativas al procesamiento de funciones hiperbólicas y trigonométricas de punto flotante según el estándar del IEEE 754. En concreto se centra el algoritmo CORDIC (COordinate Rotation DIgital Computer).

Se pretende encontrar ventajas e inconvenientes del algoritmo, soluciones propuestas y realizar una simulación e implementación de un algoritmo CORDIC básico en hardware utilizando numeración en punto flotante.

Como se verá en los siguientes apartados, la complejidad de algunas soluciones a los problemas inherentes del funcionamiento de CORDIC hace que el alcance del desarrollo del algoritmo sea simplemente una demostración teórica y práctica de como implementar un algoritmo de este tipo, dentro del marco académico.

Por último, hay que destacar que esta memoria(?) se centra principalmente en el aspecto del tratamiento de los datos

## 1.4 Estructura del documento





## 2 CORDIC

### 2.1 Descripción de CORDIC

En esta sección se describirá el funcionamiento principal del algoritmo CORDIC según descrito por Jack E. Volder.

La rotación de un vector de dos dimensiones  $\mathbf{p}_0 = [x_0, y_0]$  con un ángulo  $\theta$  para obtener un vector  $\mathbf{p}_n = [x_n, y_n]$  se puede realizar con un producto matriz  $\mathbf{p}_n = \mathbf{R}_{p_0}$ , donde  $\mathbf{R}$  es la matriz de rotación.

$$\mathbf{R} = \begin{bmatrix} \cos \theta & -\sin \theta \\ \sin \theta & \cos \theta \end{bmatrix}$$

Si sacamos el coseno de la matriz de rotación, se puede obtener un valor  $K$ , el cual se convierte en una constante.

$$\mathbf{R} = [(1 + \tan^2 \theta)^{-1/2}] \begin{bmatrix} 1 & -\tan \theta \\ \tan \theta & 1 \end{bmatrix}$$

Nombraremos como  $K = [(1 + \tan^2 \theta)^{-1/2}]$  el factor escala. Eliminando  $K$  obtenemos una matriz de pseudo-rotación  $\mathbf{R}_c$  tal que

$$\mathbf{R}_c = \begin{bmatrix} 1 & -\tan \theta \\ \tan \theta & 1 \end{bmatrix}$$

La operación pseudo-rotación realizada sobre el vector  $p_0$  por un ángulo  $\theta$  y cambia su magnitud por un factor  $K = \cos \theta$ .

Para obtener la simplicidad dentro del hardware necesitamos:

- Descomponer las rotaciones en una secuencia de rotaciones elementales con ángulos predefinidos que se pueda implementar con un coste hardware mínimo.
- Eliminar el factor escala  $K$ , ya sea finalizando la operación con una simple multiplicación o ignorarlo directamente.

En primer lugar, CORDIC realiza una rotación iterativa con una lista de ángulos predefinidos  $\alpha_i = \arctan(2^{-i})$  de manera que  $\tan(\alpha_i) = 2^{-i}$  se puede implementar en hardware como un desplazamiento de  $i$  posiciones.

Ya que estamos limitando la operación  $\tan \theta$  a una lista de rangos predefinidos anteriormente podemos asumir que

$$K_i = \frac{1}{\sqrt{1 + 2^{-2i}}}$$

Revisar de nuevo si las formulas estan correctas. Comentar Linear/Circular/Hyperbolic

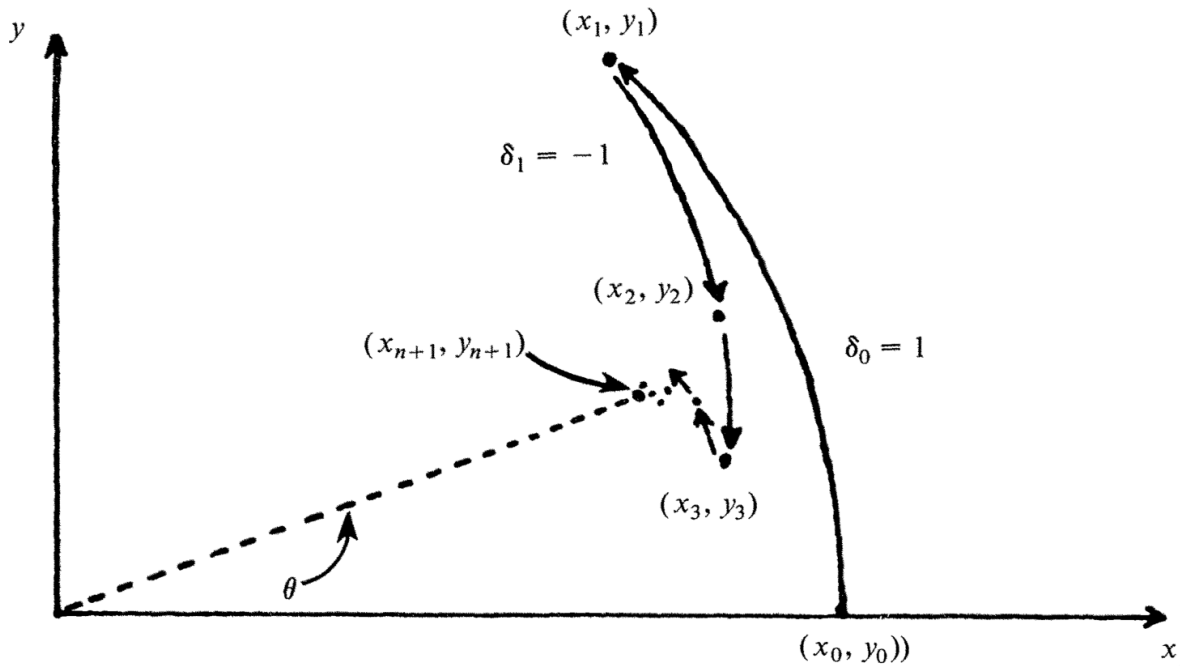
El factor escala  $K_i$  altera la magnitud del vector a rotar independientemente del valor del ángulo.

Ya que el factor escala no depende del ángulo de las micro-rotaciones, no necesitamos incluir el factor dentro de las operaciones, lo que nos da  $p_n = R_c p_0$ .

El factor final  $K$  tiene un valor de 1.6467605, por lo cual simplemente se puede escalar el valor final por  $K$ .

Los valores finales que nos interesan son los siguientes:

$$\begin{aligned} x_{i+1} &= x_i - \delta_i \times 2^{-i} \times y_i \\ y_{i+1} &= y_i - \delta_i \times 2^{-i} \times x_i \\ \omega_{i+1} &= \omega_i - \delta_i \times \alpha_i \end{aligned}$$



**Figura 2.1:** Rotation Mode

CORDIC puede operar de dos formas: *Rotation Mode* (RM) (2.1) y *Vectoring Mode* (VM) (2.2). La principal diferencia es en como se eligen las micro-rotaciones. En RM, la dirección de cada micro-rotación depende del signo de  $\omega_i$ . Si  $\omega_i$  es positivo  $\delta_i = 1$ , si no  $\delta_i = -1$ . En VM, el vector se rota hacia el eje de  $x$ , por lo que la componente  $y$  tiende a 0.

Posteriormente, J.S. Walther propuso un CORDIC generalizado unificado para realizar multitud de operaciones matemáticas, pero esto se encuentra fuera del alcance de esta memoria (Vea ??).

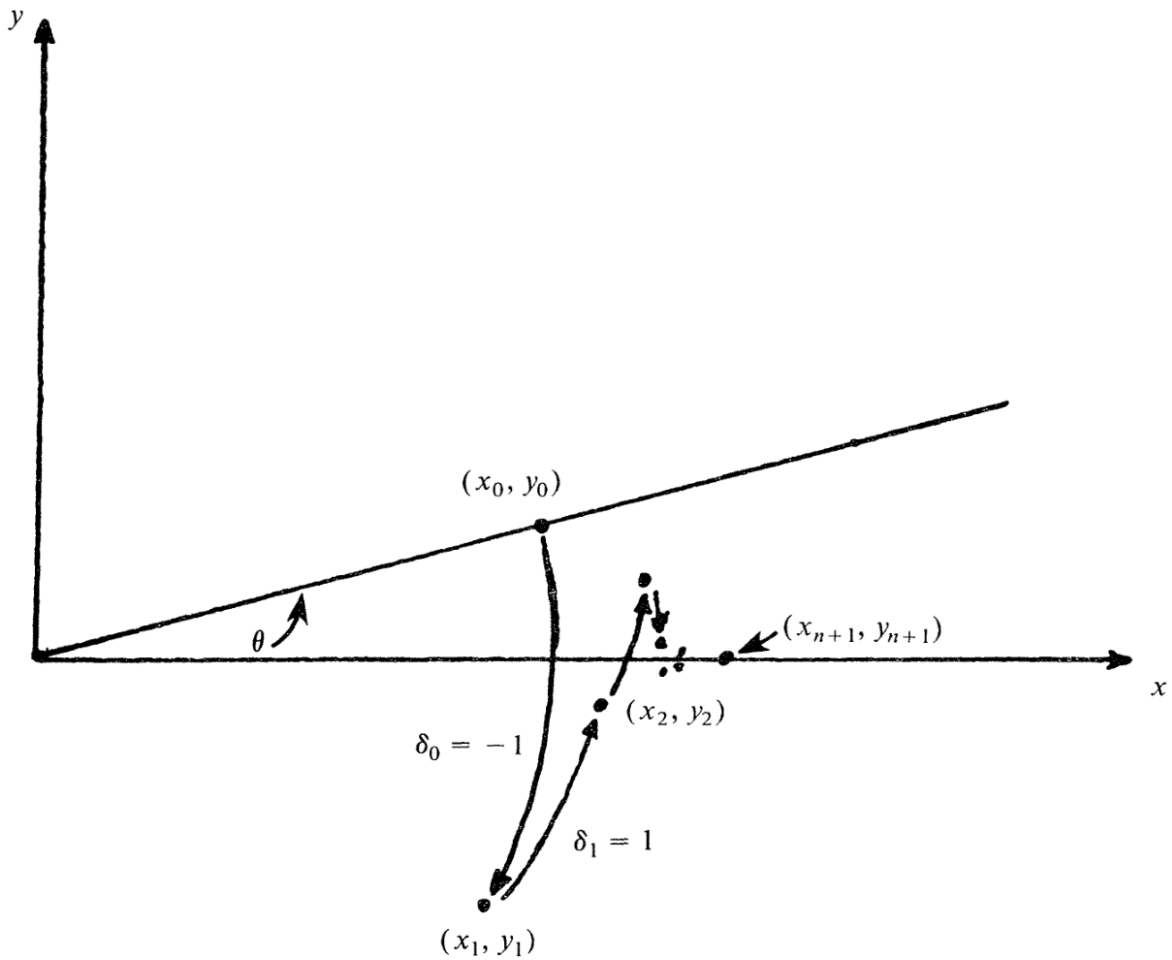


Figura 2.2: Vectoring Mode

## 2.2 Mejoras a CORDIC

En el apartado de introducción se explicaron algunas aplicaciones de CORDIC, sin detallar el tipo o las modificaciones realizadas. En este apartado se muestran algunas de estas mejoras importantes que han permitido a CORDIC mantenerse competitivo. Muchas de estas soluciones están descritas en Meher y cols. (2009).

Como ya se comentó anteriormente, el cómputo de CORDIC es originalmente un proceso totalmente secuencial por dos razones principales: Las micro-rotaciones depende de los valores la rotación computados anteriormente, lo que sería el valor intermedio y las iteración  $(i + 1)$  solo puede comenzar después de que se complete la iteración  $i$ .

Otro de los problemas es que la precisión del valor final es lineal, requiere  $n + 1$  iteraciones para tener una precisión de  $n$  bits. Esto significa que la latencia depende del número de bits que se pasan a CORDIC.

Operación	Configuración	Inicialización	Salida	Anotaciones
$\cos \theta, \cos \theta, \tan \theta$	CC-RM	$x_0 = 1 \ y_0 = 0 \ y \ \omega_0 = \theta$	$x_n = \cos \theta \ y_n = \sin \theta$	$\tan \theta = (\sin \theta / \cos \theta)$
$\cosh \theta, \sinh \theta, \tanh \theta, \exp(\theta)$	HC-RM	$x_0 = 1 \ y_0 = 0 \ y \ \omega_0 = \theta$	$x_n = \cosh \theta \ y_n = \sinh \theta$	$x_n = \sqrt{a} \ \omega_n = 1/2 \ln(a)$
$\ln(a), \sqrt{a}$	HC-VM	$x_0 = a + 1 \ y_0 = a - 1 \ y \ \omega_0 = 0$	$x_n = \sqrt{a} \ \omega_n = 1/2 \ln a$	$\ln(a) = 2\omega_n$
$\arctan(a)$	CC-VM	$x_0 = a \ y_0 = 1 \ y \ \omega_0 = 0$	$\omega_n = \arctan(a)$	
división( $b/a$ )	LC-VM	$x_0 = a \ y_0 = b \ y \ \omega_0 = 0$	$\omega_n = b/a$	
Polar a rectangular	CC-RM	$x_0 = R \ y_0 = 0 \ y \ \omega_0 = \theta$	$x_n = R \cos \theta \ y_n = R \sin \theta$	
Rectangular a polar $\tan^{-1}(b/a)$ y $\sqrt{a^2 + b^2}$	CC-VM	$x_0 = a \ y_0 = b \ y \ \omega_0 = 0$	$x_n = \sqrt{a^2 + b^2} \ \omega_n = \arctan(b/a)$	

**Tabla 2.1:** Diferentes configuraciones de CORDIC, segun Meher y cols. (2009)

### 2.2.1 4-Radix

Una solución a la reducción del número de iteraciones es calcular CORDIC con una base mayor, como por ejemplo 4. La fórmula final seria tal que:

$$\begin{aligned}
 x_{i+1} &= x_i - \delta_i \times 4^{-i} \times y_i \\
 y_{i+1} &= y_i - \delta_i \times 4^{-i} \times x_i \\
 \omega_{i+1} &= \omega_i - \delta_i \times \alpha_i
 \end{aligned}$$

El valor  $K$  tendría una fórmula:

$$K_i = \frac{1}{\text{sqr}(1 + \delta_i^2 * 4^{-2i})}$$

De esta manera, para tener una salida de  $n$  bits de precisión solo necesitamos  $n/2$  micro-rotaciones a cambio de mas complejidad dentro del hardware. Un punto a comentar es que el factor de escala  $K$  ahora depende de  $\delta$ , el cual puede tener 5 valores diferentes.

Finalmente se quiere comentar que también existen soluciones de base mas alto, como 8-Radix.

### 2.2.2 Angle Recording

Los métodos de *Angle Recording* (AR) quieren reducir el número de iteraciones mediante una combinación lineal de ángulos de las micro-rotaciones. Este método es ideal para procesamiento de señal, imagen, donde el ángulo de rotación se conoce *a priori*.

### 2.2.3 Hybrid CORDIC

CORDIC híbrido se basa en la idea de que los valores menos significativos del cálculo de ángulo pueden ser reemplazados por  $2^{-j}$  ya que  $\tan(2^{-j}) \approx 2^{-j}$  si el valor  $j$  es lo suficientemente grande. De esta manera podemos calcular los valores mas pequeños con un simple movimiento de bits y no necesitamos conocer el signo de rotación ya que en todo momento es positivo.

### 2.2.4 Redundant-Number-Based CORDIC

Este tipo de CORDIC pretende mejorar el rendimiento de las sumas y restas mediante un uso de numeración redundante para no tener que realizar el cálculo de los posibles restos que puede obtener una operación aritmética. La desventaja de este método es que necesitas mas espacio en hardware para implementar.

### 2.2.5 Pipelined CORDIC

El uso de *pipelined* CORDIC es bastante extenso ya que cada iteración del método es idéntica y los valores anteriores después de su cálculo ya no nos interesan, es posible obtener por cada ciclo de ejecución un nuevo resultado. Para esto necesitamos tener un registro por cada etapa de CORDIC (vea 2.3).

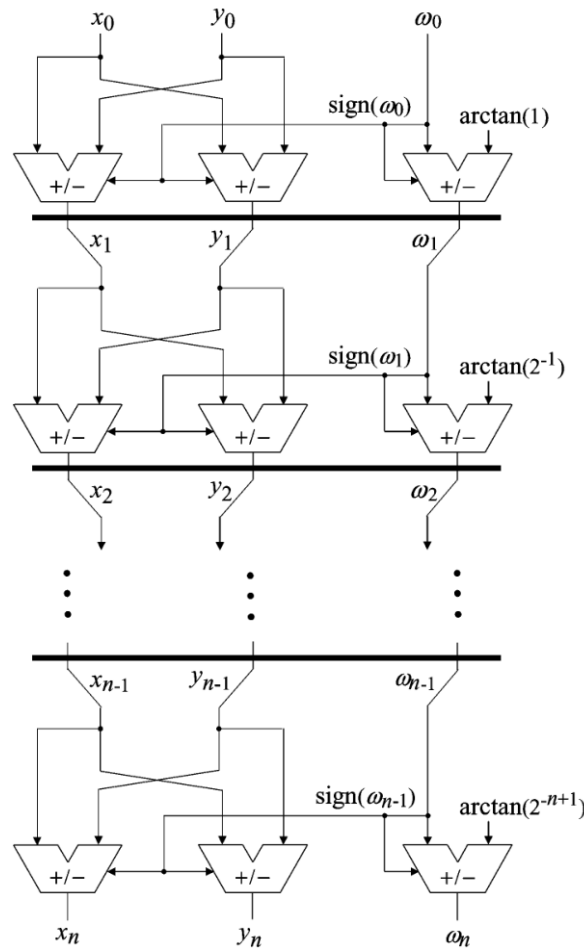


Figura 2.3: CORDIC convencional con *pipelining*

## 2.3 CORDIC y punto flotante

Parker (2011) Muestra claramente algunos de los problemas que conlleva implementar el estándar del IEEE 754 en hardware. En concreto estos problemas son relaciones con algunos aspectos de las FPGAs, pero puede ser aplicable a cualquier problema donde el hardware es limitado. Algunos de estos problemas son:

- La representación de la mantisa incluye un 1 implícito. El valor real va desde  $[1:1.999..]$  en vez de  $[0:0.000..]$ .

Precisión	Rango	Throughput	Latencia	Transistores
16-bits	$\pm 2^{16}$	100ns	2.2 $\mu$ s	70000
Entradas	Salidas	Consumo	Espacio	Procesador
72	67	1.3W	1.2 $cm^2$	CMOS(2 $\mu$ )

**Tabla 2.2:** Características de FP CORDIC. Datos de de Lange y cols. (1988)

- En vez de usar complemento a dos, el estándar incluye un bit de signo.
- Cada operación aritmética conlleva una normalización de la mantisa para alinear el punto decimal hacia la izquierda, además de tener que ajustar el exponente de forma acorde.
- VHDL y Verilog no tienen una implementación de operaciones con punto flotante. Un lenguaje de descripción de hardware mas nuevo, como SystemVerilog si tiene estas operaciones, pero la complejidad de ellas conlleva a perder mucho espacio, el cual puede estar bastante limitado en las FPGAs.

Dentro de la evolución del uso de punto flotante en el método hay una variedad importante de arquitecturas y algoritmos de CORDIC.

Una de las primeras implementaciones de un tipo de punto flotante, explicado por Leibson (2005) fue sobre el año 1954 con la calculadora de sobremesa HP 9100A. La calculadora tenía 16 registros, numerados de forma hexadecimal y podía guardar valores de punto flotante con 10 dígitos de mantisa y 2 dígitos de exponente en formato BCD. La mantisa y el exponente podían guardar valores positivos y negativos.

Según Walther (1971), la primera implementación de punto flotante tenía grandes limitaciones en el tema de hardware a la hora de convertir los valores entre BCD a base 2 y, además, no había un estándar de punto flotante en aquel entonces, por lo que cada diseñador creaba su propio formato.

Un diseño de CORDIC que mas se asemeja a las nuevas propuestas es el de de Lange y cols. (1988), donde proponen un procesador de CORDIC de punto flotante y con *pipelining*. Este chip podía realizar hasta  $10^7$  rotaciones por segundo gracias al sistema de *pipelining*. La entrada de valores era de 21 bits en punto flotante, 16 bits de mantisa y 5 bits para el exponente en complemento a dos. La salida era también en punto flotante (vea 2.4). Cabe destacar que el tipo usado en esta arquitectura no es estándar de IEEE.

Para realizar las micro-rotaciones estipuladas anteriormente, la base del propio algoritmo, el procesador transforma el valor de punto flotante en punto fijo para el trabajo interno y posteriormente devuelve los valores en punto flotante. El valor  $K$  es calculado en el momento de la conversión final del valor para devolver.

Como se puede observar, operar con punto fijo para realizar movimiento de bits es mucho mas fácil que tener que hacerlo directamente con punto flotante, por lo que los diseñadores generalmente, en muchos de los ejemplos mostrados posteriormente, realizan una conversión de punto fijo a punto flotante, o algunas veces directamente reciben valores en punto fijo para simplemente convertir una sola vez a punto flotante al final del algoritmo.

Hekstra y Deprettere (1993) presentaron un algoritmo de CORDIC de 32 bit de precisión con el estándar de IEEE 754. Este algoritmo puede realizar la rotación de un vector punto

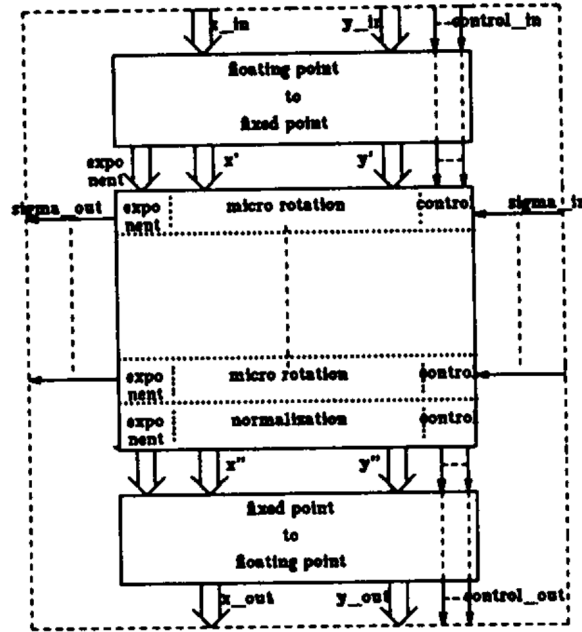


Figura 2.4: Arquitectura de FP CORDIC. Figura de de Lange y cols. (1988)

flotante  $(x, y)$  con un ángulo de punto flotante  $\alpha$ . Este algoritmo fue diseñado con la intención de implementarlo en una unidad funcional para aplicaciones de procesamiento digital (DSP).

Para realizar las micro-rotaciones se da ciertos cambios, como el uso del método *Block Floating Point* (BFP), el cual permite un uso de aritmética con punto fijo aunque el valor sea punto flotante. La ventaja de este método es la reducción de hardware y el coste de tiempo que puede traer las mismas funciones aritméticas comparadas a punto flotante pero sin perder el rango numérico que le da la ventaja a este.

Zhou y cols. (2008) diseñaron un co-procesador FPGA basado en CORDIC con doble precisión (64 bits estándar IEEE 754) y *pipelining*. Este diseño se centra explícitamente en las FPGAs, ya que como se puede ver anteriormente, y según lo descrito en este artículo, la mayoría se centraba dentro del área del ASIC, por lo que no había tantos ejemplos de implementaciones en hardware para FPGAs. Además, es de los pocos artículos con una implementación de 64 bits.

El diseño se basaba en tres fases: Transformación de los valores de punto flotante a punto fijo, método CORDIC y una fase de normalización, donde se devuelve el valor en punto flotante del IEEE 754.

Los resultados finales en este artículo muestran un *speedup* considerable comparando a una CPU de la época, en concreto la AMD Athlon 64 Processor 3200+ (vea 2.3). Otros experimentos mostraban la reducción de espacio en el hardware comparados a otras soluciones y un error de resultados razonable.

Nguyen y cols. (2015) propone un CORDIC con punto flotante de baja latencia. El algoritmo propuesto reduce el número de iteraciones eligiendo un grupo particular de constantes para conseguir un resultado cercano al real.

La reducción del número de ángulos a escoger se basa en elegir los ángulos hasta llegar a

Programa	AMD Athlon ( $\mu s$ )	Mult-CORDICs					
		Num_C	Num_M	Num_D	Num_AS	Tiempo( $\mu s$ )	Speedup
Problema 1	342.86	3	4	1	2	6.95	49.3
Problema 2	129.39	2	8	0	7	7.04	18.4
Problema 3	125.43	1	2	1	0	6.52	19.2
Media	199.23	2	4.7	0.67	3	6.84	28.7

**Tabla 2.3:** Resultados de 64FP CORDIC y una CPU AMD Athlon 64 Processor 3200+. Num\_C es el número de co-procesadores de CORDIC usados en el experimento.

							Este trab
Dispositivo	Xilinx Vertex 5	Xilinx Vertex 5	Xilinx Vertex 7	Altera Stratix II	Xilinx Vertex 6	Altera Stratix IV	Altera Stratix IV
Latencia (ciclos)	93	-	130	-	-	36	12/20/26
Frecuencia	86.1	133.8	280	195.1	253.5	258.3	175.7
LUTs	3152	26811	6514	6469	13744	5612	1139
Registros	-	16274	4725	5372	-	4231	498
Memoria	2832	-	4894	-	-	3575	11
DSP	0	2	9	-	96	32	8

**Tabla 2.4:** Tabla de comparaciones del CORDIC propuesto con otros trabajos parecidos. Tabla de Nguyen y cols. (2015)

un umbral particular para tener un error de cálculo muy cercano a como si se hiciera el de todas las constantes. Un punto a tener en cuenta es que el valor  $K$  tendrá un valor diferente en cada operación del algoritmo, por lo que se tiene que recalcular en cada operación.

En cuanto a las entradas y salidas del algoritmo, la entrada es un valor del ángulo de punto fijo de 24 bits y las salidas son el  $\sin/\cos$  con un valor de 32 bits IEEE 754 cada una.

Ahora se va a mostrar los artículos mas actualizados de CORDIC. Estos artículos muestran un interés general por el método y da confianza sobre el futuro de CORDIC.

Hou y cols. (2019) diseñan un algoritmo CORDIC usando el estándar IEEE 754 de doble precisión (64 bits).

La metodología del tratamiento de los datos es muy parecida a la literatura descrita anteriormente, la entrada es un valor de punto flotante que en un módulo de pre-procesamiento realiza una conversión a punto fijo y además se procesa las excepciones que podrían aparecer en este momento, como por ejemplo un  $NaN$ .

La unidad de procesamiento de CORDIC utiliza el llamado *Point 4-step Iterative Processing Unit*, el cual ocupa mas espacio que un CORDIC tradicional, pero logra calcular por cada ciclo 16 micro-rotaciones de CORDIC, reduciendo efectivamente el tiempo por 4 (vea ??). El número de iteraciones es menor a otros métodos de CORDIC, como por ejemplo Para-CORDIC (vea Juang y cols. (2004)).

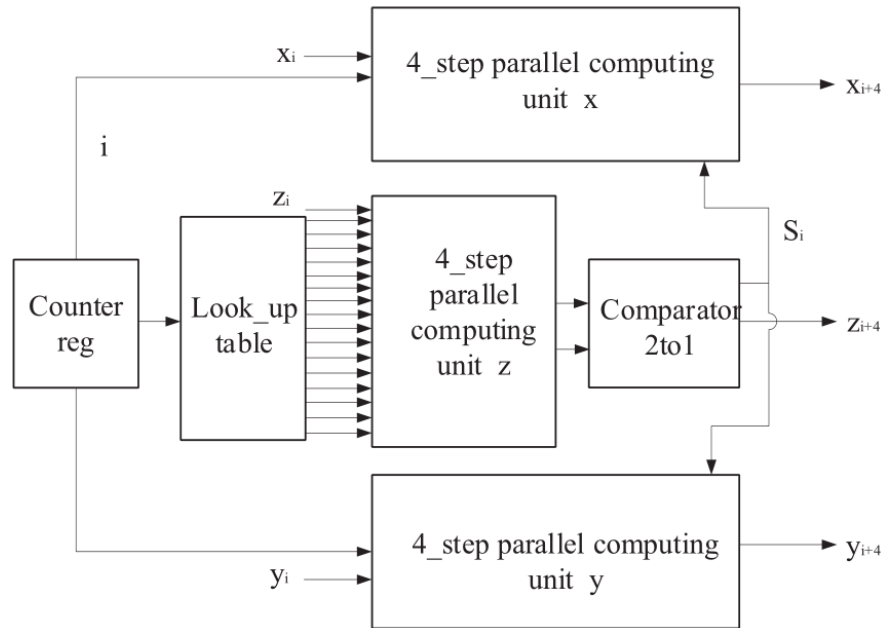
Como se comentó anteriormente, CORDIC puede realizar una multitud de operaciones matemáticas según la necesidad del problema. Yeshwanth y cols. (2018) aprovechan el algoritmo de CORDIC con *pipelining* para optimizar el rendimiento del multiplicador de las

Tipo de CORDIC	Tradicional	Para-CORDIC	Hybrid	SF CORDIC	Artículo mencionado
Número de iteraciones	64	17	24	24	15

**Tabla 2.5:** Número de iteraciones comparando el multiplicador CORDIC con punto flotante de Yeshwanth y cols. (2018) a otras soluciones.

Separacion en subsection de cada articulo?





**Figura 2.5:** Unidad de procesamiento de CORDIC de doble precisión. Figura extraída de Yeshwanth y cols. (2018)

Multiplicador punto flotante	Parámetros digitales		
	Latencia (ns)	Área (LUTs)	Consumo (mW)
Multiplicador CORDIC	5.259	679	96
Multiplicador Vedic	26.634	489	95

**Tabla 2.6:** Comparativa entre un multiplicador Vedic y CORDIC de Yeshwanth y cols. (2018).

mantisas para el IEEE 754 de 32 bits. Los resultados obtenidos han sido comparados al método de Vedic. Los tiempos de CORDIC son considerablemente mejores, pero ocupa un área en hardware mayor que Vedic.



## **3 Implementación de CORDIC**

**3.0.1 Herramientas**

**3.0.2 Implementación básica**

**3.0.3 Implementación pipeline**

**3.0.4 Implementación con punto flotante**



## **4 Conclusiones**



## Bibliografía

- de Lange, A., van der Hoeven, A., Deprettere, E., y Bu, J. (1988, junio). An optimal floating-point pipeline CMOS CORDIC processor. En *1988., IEEE International Symposium on Circuits and Systems* (pp. 2043–2047 vol.3). doi: 10.1109/ISCAS.1988.15343
- Dhume, N., y Srinivasakannan, R. (2012). Parameterizable CORDIC-Based Floating-Point Library Operations. , 18.
- Hekstra, G., y Deprettere, E. (1993, junio). Floating point Cordic. En *Proceedings of IEEE 11th Symposium on Computer Arithmetic* (pp. 130–137). doi: 10.1109/ARITH.1993.378100
- Hou, N., Wang, M., Zou, X., y Liu, M. (2019, julio). A Low Latency Floating Point CORDIC Algorithm for Sin/Cosine Function. En *2019 IEEE 4th International Conference on Signal and Image Processing (ICSIP)* (pp. 751–755). (ISSN: null) doi: 10.1109/SIPROCESS.2019.8868623
- Juang, T.-B., Hsiao, S.-F., y Tsai, M.-Y. (2004, agosto). Para-CORDIC: parallel CORDIC rotation algorithm. *IEEE Transactions on Circuits and Systems I: Regular Papers*, 51(8), 1515–1524. (Conference Name: IEEE Transactions on Circuits and Systems I: Regular Papers) doi: 10.1109/TCSI.2004.832734
- Leibson, S. (2005). *The 9100 Part 2*. Descargado 2020-07-02, de [http://www.hp9825.com/html/the\\_9100\\_part\\_2.html](http://www.hp9825.com/html/the_9100_part_2.html)
- Meher, P. K., Valls, J., Juang, T.-B., Sridharan, K., y Maharatna, K. (2009, septiembre). 50 Years of CORDIC: Algorithms, Architectures, and Applications. *IEEE Transactions on Circuits and Systems I: Regular Papers*, 56(9), 1893–1907. (Conference Name: IEEE Transactions on Circuits and Systems I: Regular Papers) doi: 10.1109/TCSI.2009.2025803
- Nguyen, H.-T., Nguyen, X.-T., Hoang, T.-T., Le, D.-H., y Pham, C.-K. (2015). Low-resource low-latency hybrid adaptive CORDIC with floating-point precision. *IEICE Electronics Express*, 12(9), 20150258–20150258. Descargado 2020-07-01, de [https://www.jstage.jst.go.jp/article/elex/12/9/12\\_12.20150258/\\_article](https://www.jstage.jst.go.jp/article/elex/12/9/12_12.20150258/_article) doi: 10.1587/elex.12.20150258
- Parker, M. (2011). Abstract – Floating Point. *DesignCon 2011*, 15. Descargado de <https://www.intel.com/content/dam/www/programmable/us/en/pdfs/literature/wp/designcon2011-floating-point-design-flow.pdf>
- Schelin, C. W. (1983, mayo). Calculator Function Approximation. *The American Mathematical Monthly*, 90(5), 317–325. Descargado 2020-07-02, de <https://doi.org/10.1080/00029890.1983.11971220> (Publisher: Taylor & Francis \_eprint: <https://doi.org/10.1080/00029890.1983.11971220>) doi: 10.1080/00029890.1983.11971220

- Volder, J. (1959, marzo). The CORDIC computing technique. En *Papers presented at the the March 3-5, 1959, western joint computer conference* (pp. 257–261). San Francisco, California: Association for Computing Machinery. Descargado 2020-02-25, de <https://doi.org/10.1145/1457838.1457886> doi: 10.1145/1457838.1457886
- Walther, J. S. (1971). A unified algorithm for elementary functions. En *Proceedings of the May 18-20, 1971, spring joint computer conference on - AFIPS '71 (Spring)* (p. 379). Atlantic City, New Jersey: ACM Press. Descargado 2020-02-25, de <http://portal.acm.org/citation.cfm?doid=1478786.1478840> doi: 10.1145/1478786.1478840
- Yeshwanth, B., Venkatesh, V., y Akhil, R. (2018, diciembre). High-Speed Single Precision Floating Point Multiplier using CORDIC Algorithm. En *2018 International Conference on Electrical, Electronics, Communication, Computer, and Optimization Techniques (ICEEC-COT)* (pp. 135–141). doi: 10.1109/ICEECOT43722.2018.9001506
- Zhou, J., Dou, Y., Lei, Y., Xu, J., y Dong, Y. (2008, septiembre). Double Precision Hybrid-Mode Floating-Point FPGA CORDIC Co-processor. En *2008 10th IEEE International Conference on High Performance Computing and Communications* (pp. 182–189). doi: 10.1109/HPCC.2008.14
-